

## نماذج لتقدير متوسطات درجة الحرارة الشهرية في المملكة العربية السعودية:

### تطبيق لتحليل العلاقة الاعتمادية المتدرجة

محمد العبدالله الجراش

أستاذ مشارك، قسم الجغرافيا، كلية الآداب والعلوم الإنسانية، جامعة الملك عبدالعزيز، جدة،  
المملكة العربية السعودية

ورد بتاريخ ٢٢/٨/١٤٠٩هـ، وقبل للنشر بتاريخ ١٥/٥/١٤١٠هـ

ملخص البحث . تمثل هذه الدراسة ربط متوسطات درجات الحرارة الشهرية في اثنتين وخمسين محطة مناخية في المملكة العربية السعودية بالعوامل الجغرافية المعروفة بـ: خط العرض، خط الطول، والارتفاع التضاريسي وذلك بتطبيق تحليل العلاقة الاعتمادية المتعددة المتدرجة من أجل فحص مدى صحة الافتراض القائل بأن هناك علاقة خطية بين هذه العوامل وبين متوسط درجة الحرارة الشهرية الوسطى .

ومن نتائج التحليل يتضح أن عامل الارتفاع التضاريسي يبرز تأثيره في الفترة الدافئة من السنة والتي تمتد من أبريل إلى أكتوبر، في حين أن عامل خط الطول يبرز تأثيره في فصل الصيف فقط من مايو إلى أغسطس، بينما خط العرض يبرز تأثيره في الفترة الباردة من السنة والممتدة بين نوفمبر إلى مارس .

والنماذج التي تم الوصول إليها لا تمثل في الحقيقة كل العوامل التي تتحكم في التفاوتات المكانية لمتوسط درجة الحرارة الشهرية لأن عامل التحديد يتراوح بين ٠,٩٤٩ , لشهر فبراير وبين ٠,٧٩١ , لشهر يونية . وقد تم تمثيل الفروق بين القيم المقاسة والقيم المقدرة خرائطياً للتدليل على أحجام النسب المثوية التي يجب تبنيها لتصحيح القيم التي يتم الحصول عليها بتطبيق هذه النماذج على أي موقع في المملكة .

تتميز شبكة المحطات المناخية في المملكة العربية السعودية والتي يتم فيها رصد درجات الحرارة بشكل متواصل بأنها:

- ١ - غير منتظمة في توزيعها المكاني على طول البلاد وعرضها .
- ٢ - ضئيلة كثافياً بالنسبة للوحدة المساحية .

وهذان السببان يعيقان إمكانية وضع خرائط خطوط تساوي درجات الحرارة في المملكة بمستوى دقيق . ولأن هذا الوضع ليس من المتوقع أن يتم تصحيحه في المستقبل القريب فإن هناك حاجة ملحة إلى تلمس بدائل تسمح بسد الفراغ المكاني بين المحطات المناخية القائمة عن طريق تقدير متوسط درجة الحرارة الشهرية لأي موقع بين هذه المحطات المناخية . وهذه الدراسة محاولة لتحقيق ذلك بوضع نماذج تستند على معادلات العلاقة المثلثة لاعتمادية متوسط درجة الحرارة على العوامل الجغرافية التي يفترض أنها الرئيسة المتحكممة في التفاوتات المكانية لدرجات الحرارة الا وهي : خط العرض ، وخط الطول ، والارتفاع التضاريسي . وقد سبق أن طبق هذا الأسلوب فلوكاس وجايلز وانجوريداكس في دراستهم عن تقدير المتوسطات السنوية والشهرية لمتوسط درجة الحرارة في اليونان .<sup>(١)</sup> كما طبقه الجراش في دراسته لتقدير المتوسط السنوي لكمية الأمطار على غرب المملكة العربية السعودية .<sup>(٢)</sup>

وعلى أية حال، فإن اقتصار هذه الدراسة على هذه المتغيرات الثلاث يركز على اعتبارين هما :

- ١ - أن هذه الدراسة هي محاولة مبدئية لمعالجة مشكلة الضعف في شبكة الرصد المناخي وبالتالي فإن نتائجها قابلة للتعديل والدراسة التفصيلية فيما بعد بإضافة متغيرات أخرى .

(١) A. A. Flocas, B. D. Giles, and V. E. Angouridakis, "On the Estimation of Annual and Monthly Mean Values of Air Temperature over Greece Using Stepwise Multiple Regression Analysis."

*Arch. Met. Geoph. Biol. (Ser. B)*, 32 (1983), 287-95.

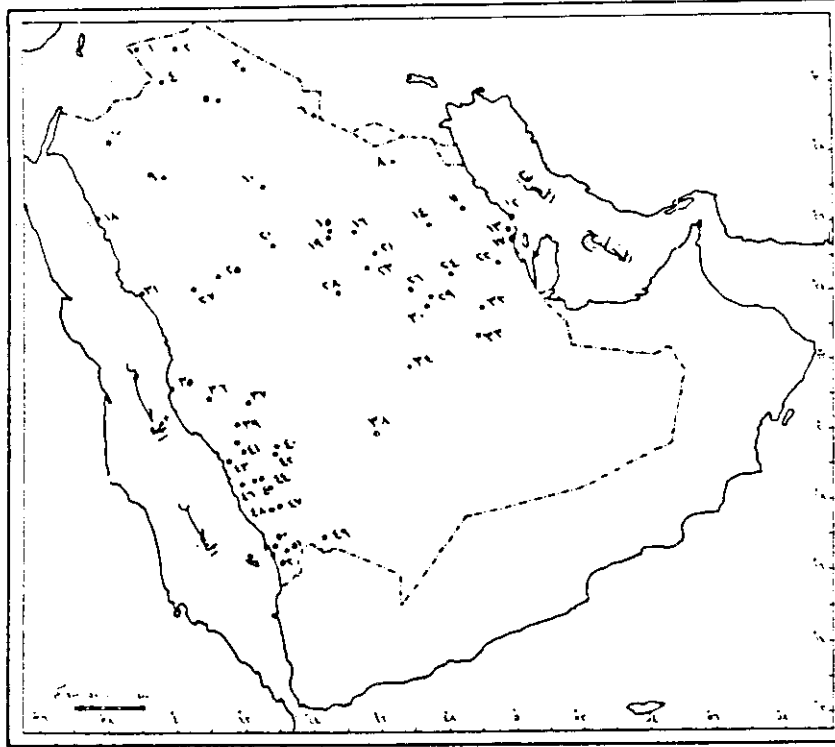
(٢) محمد العبدالله الجراش، «نماذج لتقدير المتوسط السنوي لكمية الأمطار على غرب المملكة العربية السعودية»، «مجلة كلية الآداب والعلوم الإنسانية - جامعة الملك عبدالعزيز، مع ٣ (١٤٠٣هـ)، ص ص ١٠٧ - ١٥٢ .

٢ - من الثابت أن هذه العوامل الثلاث هي العوامل الأساسية المتحكمة في الاختلافات المكانية لدرجة الحرارة. (٣) كما أن عاملي خط العرض وخط الطول يمثلان تأثيرات مركبة بحكم طبيعتهما كضوابط للمواقع المكانية على سطح الكرة الأرضية. فخط العرض بتمثيله لتأثير الابتعاد عن خط الاستواء وما يعنيه من اختلافات في زاوية الإسقاط الشمسي وتأثير ذلك على درجة تركيز تسخين الطبقة الهوائية السطحية يلغي الحاجة إلى إدخال متغير يمثل بُعد مواقع المحطات المناخية عن مركز الفاصل الحراري. كما أن اختلاف قيم خط العرض بالزيادة صوب الشمال يكفل تمثيل الخطوط التي تمثل مداخل الجبهات الباردة إلى المملكة مما يعني إلغاء الحاجة إلى تمثيل ذلك بمتغير يمثل المسافات الفاصلة بين مواقع المحطات المناخية وتلك الخطوط الوهمية. بالمنطق نفسه نجد أن خطوط الطول بحكم الاختلاف في قيمتها صوب الشرق (إلى الخليج العربي) وصوب الغرب (إلى البحر الأحمر) تكفل تمثيل تأثير بعد أوقرب المحطات المناخية إلى هذه المسطحات المائية الحدودية والتي ما من شك لها تأثيرها، وإن كان ينحصر في نطاق شريطي، على درجات حرارة المناطق الساحلية. وهذا بدوره يلغي حاجة إدخال متغيرات تمثل البعد المسافي الذي يفصل المحطات المناخية عن ساحل البحر الأحمر من جهة وعن ساحل الخليج العربي من جهة أخرى.

وقد تم تجميع المتوسطات الشهرية لدرجات الحرارة لاثنتين وخمسين محطة مناخية تمثل ٣٧ محطة منها فترة تمتد بين ١٩٧٠ - ١٩٨٧ م، في حين تمثل البقية فترات أقل، أقصرها الفترة الممتدة بين ١٩٧٥ - ١٩٨٧ م (انظر خريطة رقم ١)، جدول رقم ١.

وعلى أية حال، فبحكم الحجم المساحي الهائل للمملكة والوضع الجغرافي المتميز لها، فإن من المتوقع أن يتأثر التوزيع المكاني لدرجات الحرارة على سطحها بشكل أساسي بالعوامل الثلاثة التي أشرنا إليها هنا، ومن أجل تحديد مدى تأثير كل من هذه العوامل على هذا التوزيع لمتوسط درجة الحرارة الشهرية جرى استخلاص اثنتي عشرة معادلة تمثل العلاقة

M. E. Budyko, "Climate and Life," International Geophysics Series, Vol. 18 (London: Academic (٣) Press, 1974), p. 147.



خريطة رقم ١ . المحطات المناخية .

جدول رقم ١ . المحطات المناخية .

الفترة	الارتفاع (م)	خط الطول درجة دقيقة	خط العرض درجة دقيقة	الاسم	الرقم على الخريطة
١٩٨٧-١٩٧٣ م	٨١٦	٣٨ ٤٠	٣١ ٤١	مطار طريف	١
١٩٨٧-١٩٧١ م	٥٤٩	٣١ ١٦	٣١ ٢٥	القريات	٢
١٩٨٧-١٩٧٣ م	٥٢٥	٤١ ٠٨	٣٠ ٤٥	مطار بدنة	٣
١٩٨٧-١٩٧٠ م	٥٦٦	٣٨ ١٧	٣٠ ٣١	طبرجل	٤
١٩٨٧-١٩٧٠ م	٥٤٧	٤٠ ١٢	٢٩ ٥٨	سكاكا	٥
١٩٨٧-١٩٧٧ م	٤٤٧	٤٣ ٢٩	٢٩ ٣٨	مطار رفحة	٦
١٩٨٧-١٩٧١ م	٧٧١	٣٦ ٣٥	٢٨ ٢٢	تبوك	٧
١٩٨٧-١٩٧٢ م	٣٥٦	٤٦ ٠٧	٢٨ ٢٠	مطار حفر الباطن	٨

## (تابع) جدول رقم ١ . المحطات المناخية .

الفترة	الارتفاع (م)	خط الطول		خط العرض		الاسم	الرقم على الخريطة
		درجة	دقيقة	درجة	دقيقة		
م ١٩٨٧-١٩٧٠	٨٢٠	٣٨	٢٩	٢٧	٣٨	تيماء	٩
م ١٩٨٧-١٩٧٠	٩٨٨	٤١	٤٤	٢٧	٣١	مطار حائل	١٠
م ١٩٨٧-١٩٧٠	٠٧٥	٤٨	٢٣	٢٦	٥٩	السرار	١١
م ١٩٨٧-١٩٧٠	٠١٠	٥٠	٠٥	٢٦	٤٢	رأس تنورة	١٢
م ١٩٨٧-١٩٧٠	٠٠٥	٥٠	٠٠	٢٦	٣٠	القطيف	١٣
م ١٩٨٧-١٩٧١	٤٥٠	٤٧	٢٢	٢٦	٢٢	معقلة شملول	١٤
م ١٩٨٧-١٩٧٠	٦٤٨	٤٣	٥٨	٢٦	١٨	مطار القصيم	١٥
م ١٩٨٧-١٩٧١	٦٠٥	٤٤	٤٨	٢٦	١٨	الزلفي	١٦
م ١٩٨٧-١٩٧٠	٠١٧	٥٠	١٠	٢٦	١٦	مطار الظهران	١٧
م ١٩٨٧-١٩٧٠	٠٢١	٣٦	٢٦	٢٦	١٤	مطار الوجه	١٨
م ١٩٨٧-١٩٧٠	٧٤٢	٤٣	٥٩	٢٦	٠٤	عينزه	١٩
م ١٩٨٧-١٩٧٤	٧٤٠	٤٢	١١	٢٥	٥٠	عقلة الصقور	٢٠
م ١٩٨٧-١٩٧٠	٦٦٥	٤٥	٣٧	٢٥	٣٢	حوطة سدير	٢١
م ١٩٨٧-١٩٧٠	١٦٠	٤٩	١٤	٢٥	٣٠	الهفوف	٢٢
م ١٩٨٧-١٩٧٠	٧٣٠	٤٥	١٥	٢٥	١٥	شقراء	٢٣
م ١٩٨٧-١٩٧٠	٤٣٠	٤٨	٠٨	٢٥	٠٥	خريص	٢٤
م ١٩٨٧-١٩٧٤	٨٤٩	٤٠	٣١	٢٤	٥٠	الحناكية	٢٥
م ١٩٨٧-١٩٧٠	٥٦٤	٤٦	٤٣	٢٤	٣٤	الرياض	٢٦
م ١٩٨٧-١٩٧٠	٥٩٠	٣٩	٣٥	٢٤	٣١	المدينة المنورة	٢٧
م ١٩٨٧-١٩٧٤	٩٤٠	٤٤	٢٢	٢٤	٢٩	الدوادمي	٢٨
م ١٩٨٧-١٩٧٥	٦٠٠	٤٦	٣٤	٢٤	٢٥	ديراب	٢٩
م ١٩٨٧-١٩٧٠	٤٣٠	٤٧	٢٤	٢٤	١٠	الخرج	٣٠
م ١٩٨٧-١٩٧٠	٠٠٦	٣٨	٠٣	٢٤	٠٧	مطار ينبع	٣١
م ١٩٨٧-١٩٧٠	٣٠٠	٤٩	٠١	٢٤	٠٤	حرض	٣٢
م ١٩٨٧-١٩٧٠	٢٠٠	٤٨	٥٧	٢٣	١٩	بيرين	٣٣
م ١٩٨٧-١٩٧٠	٥٣٩	٤٦	٤٤	٢٢	١٧	الأفلاج	٣٤
م ١٩٨٧-١٩٧٠	٠١٧	٣٩	١٢	٢١	٣٠	مطار جدة	٣٥
م ١٩٨٧-١٩٧٠	١٥٣٠	٤٠	٢٧	٢١	٢٤	الطائف	٣٦
م ١٩٨٧-١٩٧٣	١١٢٦	٤١	٤٠	٢١	١١	تربه	٣٧
م ١٩٨٧-١٩٧٠	٦٠٠	٤٥	٣٤	٢٠	٢٨	السليل	٣٨
م ١٩٨٧-١٩٧٠	٢٤٠٠	٤١	١٧	٢٠	٠٦	المنندق	٣٩
م ١٩٨٧-١٩٧٠	١٠٢٠	٤٢	٣٦	٢٠	٠١	بيشة	٤٠

(تابع) جدول رقم ١ . المحطات المناخية .

الفترة	الارتفاع (م)	خط الطول		خط العرض		الاسم	الرقم على الخريطة
		درجة	دقيقة	درجة	دقيقة		
١٩٨٧-١٩٧٠ م	٢٤٠٠	٤١	٣٣	١٩	٥٢	بلجرشي	٤١
١٩٨٧-١٩٧٤ م	١٠٩٠	٤٢	٣٢	١٩	٥٢	الحيفة	٤٢
١٩٨٧-١٩٧٠ م	٠٠٥٣	٤١	٠٣	١٩	٣٢	المظيلف	٤٣
١٩٨٧-١٩٧٠ م	٢٦٠٠	٤٢	٠٩	١٩	٠٦	النماص	٤٤
١٩٨٧-١٩٧٠ م	٠٣٥٠	٤١	٥٣	١٩	٠٠	خوش (الخوش)	٤٥
١٩٨٧-١٩٧٠ م	٠٠٢٠	٤١	٤٢	١٨	٤٤	كياد	٤٦
١٩٨٧-١٩٧٠ م	٢٠٦٠	٤٢	٤٨	١٨	١٨	مطار خميس مشيط	٤٧
١٩٨٧-١٩٧٠ م	٢١٩٠	٤٢	٢٩	١٨	١٢	أها	٤٨
١٩٨٧-١٩٧٤ م	١٢١٠	٤٤	٢٦	١٧	٣٧	مطار نجران	٤٩
١٩٨٧-١٩٧٠ م	٠٠٤٠	٤٢	٣٧	١٧	١٠	صيا	٥٠
١٩٨٧-١٩٧٠ م	٠١٩٠	٤٢	٥٧	١٧	٠٣	ملاكسي	٥١
١٩٨٧-١٩٧٠ م	٠٠٠٥	٤٢	٣٥	١٦	٥٢	مطار جيزان	٥٢

الاعتمادية المتدرجة لمتوسط درجة الحرارة الشهرية (العامل المعتمد) على العوامل الثلاثة الأخرى (العوامل المستقلة) (انظر الجدول رقم ٢). وقد جرى، لهذا الغرض، تطبيق طريقة التحسين الأقصى لمعامل التحديد المتعدد الذي يشمل برنامج العلاقة الاعتمادية المتدرجة والذي هو بدوره جزء من المجموعة الإحصائية المعروفة باسم: ساس SAS<sup>(٤)</sup> التي يخترنها الحاسب الآلي في جامعة الملك عبدالعزيز، على قيم المتوسطات الشهرية لدرجة الحرارة للمحطات المذكورة.

وهكذا فإن النماذج التي يقدمها هذا البحث تستند على معادلة العلاقة الاعتمادية الخطية المعروفة، والتي يمكن أن نكتب صيغتها العربية على النحو التالي:

$$\hat{m} = a \pm b_1 m_1 \pm b_2 m_2 \pm b_3 m_3 \pm \dots \pm b_n m_n$$

جدول رقم ٢. ملخص تحليل العلاقة الاعيادية التدرجية للمتوسط الشهري لدرجة الحرارة.

قيمة مالوس	قيمة فشر	الزيادة في قيمة معامل التحديد	معامل التحديد المعدد	معامل الارتباط المعدد	المتغير المصاف	رسم الخطوة	معادلات تقدير متوسط درجة الحرارة
٣٦٨,١	٤٣,٨	٠,٤٢٤	٠,٤٦٧	٠,٦٨٣	خط العرض	١	$\times ٠,٢٩٣٤ - \text{خط العرض}$
٣٨,٣	١٩٢,٦	٠,٤٢٤	٠,٨٩١	٠,٩٤٣	الارتفاع	٢	$\times ٠,٠٨٥٩ - ٥٧,٢٩٤ = \text{خط الطول} \times ٠,٠٠٥٥ + \text{الارتفاع}$
٤,٠	٣٦,٣	٠,٠٤٧	٠,٩٣٨	٠,٩٦٨	خط الطول	٣	
٤٩٨,٣	٣٦,٤	٠,٤٢١	٠,٤٢١	٠,٦٤٨	خط العرض	١	$\times ٠,٢٦٤٩ - \text{خط العرض}$
٤٤,١	٢٤٨,٠	٠,٤٨٣	٠,٩٠٤	٠,٩٥٠	الارتفاع	٢	$\times ٠,٩٧٨٣ - ٥٥,٢٤٩ = \text{خط العرض} \times ٠,٠٠٥٤ + \text{الارتفاع}$
٤,٠	٤٢,١	٠,٠٤٥	٠,٩٤٩	٠,٩٧٤	خط الطول	٣	
٤١٨,١	٢٦,٠	٠,٣٤٢	٠,٥٨٤	٠,٥٨٤	خط العرض	١	$\times ٠,١٠١٤ - \text{خط العرض}$
٧,٨	٣٧٤,٩	٠,٥٨١	٠,٩٢٣	٠,٩٦٠	الارتفاع	٢	$\times ٠,٨١٢٣ - ٤٧,٤٢١ = \text{خط العرض} \times ٠,٠٠٥٠ + \text{الارتفاع}$
٤,٠	٥,٨	٠,٠٠٩	٠,٩٣٢	٠,٩٦٥	خط الطول	٣	
١٢٥,٠	٦٢,٢	٠,٥٥٤	٠,٥٥٤	٠,٧٤٤	الارتفاع	١	$\times ٠,٣٧٤ + \text{خط العرض}$
٢,٥	١٢٧,٦	٠,٣٢٢	٠,٨٧٦	٠,٩٣٥	خط العرض	٢	$\times ٠,٥٤٥٥ - ٣٩,٢١٩ = \text{خط العرض} \times ٠,٠٠٥٢ + \text{الارتفاع}$
٤,٠	٠,٥	٠,٠٠١	٠,٨٧٧	٠,٩٣٦	خط الطول	٣	
٢٩,٣	٩٣,٦	٠,٦٥١	٠,٦٥١	٠,٨٠٦	الارتفاع	١	$\times ٠,٢٣٩٣ + \text{خط العرض}$
١٥,٥	٢٥,٥	٠,١٢٠	٠,٧٧١	٠,٨٧٨	خط العرض	٢	$\times ٠,٣١٤٤ - ٢٨,٧٣٤ = \text{خط العرض} \times ٠,٠٠٤٩ + \text{الارتفاع}$
٤,٠	١٣,٥	٠,٠٥٥	٠,٨٢١	٠,٩٠٦	خط الطول	٣	
٢٠,٦	١٠٧,٦	٠,٦٨٢	٠,٦٨٢	٠,٨٢٥	الارتفاع	١	$\times ٠,٢٨٤٤ + \text{خط العرض}$
٦,٠	١٩,٦	٠,٠٩١	٠,٧٧٣	٠,٨٧٩	خط الطول	٢	$\times ٠,١٢٧٨ - ٢٤,٢٥٨ = \text{خط العرض} \times ٠,٠٠٤٣ + \text{الارتفاع}$
٤,٠	٤,٠	٠,٠١٨	٠,٧٩١	٠,٨٨٩	خط العرض	٣	

(تابع) جدول رقم ٢. ملخص تحليل العلاقة الاحتمالية التدريجية للمتوسط الشهري لدرجة الحرارة.

قيمة مالوس	قيمة فشر	الزيادة في قيمة معامل التحديد	معامل التحديد	معامل الارتباط	التغير في الارتباط	رقم الخطوة	المضاد	معدلات تقدير متوسط درجة الحرارة
٢٨,٢	١٢٩,١	٠,٧٢٠٩	٠,٨٤٩٠	٠,٨٤٩٠	الارتفاع	١	يوليو = ٢٠,٧٠٨ - ٢٠,٠٨٢ × خط العرض + ٠,٣٢٤٩ × الارتفاع	
٢,٠	٢٧,٥	٠,٠٩٩٧	٠,٨٢٠٦	٠,٩٠٥٨	خط الطول	٢	خط الطول = ٠,٠٠٤٣ × الارتفاع	
٤,٠	٠,٢	٠,٠٠٠١	٠,٨٢٠٧	٠,٩٠٥٩	خط العرض	٣		
١٨,١	١٣٥,٨	٠,٧٣٠٨	٠,٨٥٤٨	٠,٨٥٤٨	الارتفاع	١	أغسطس = ٣٨,٥١٩ - ٣٣,٠٢٠٨ × خط العرض + ٠,٢٥٩٩ × الارتفاع	
٢,١	١٦,٩	٠,٠٦٩٣	٠,٨٠٠١	٠,٨٩٤٤	خط الطول	٢	خط الطول = ٠,٠١٤٣ × الارتفاع	
٤,٠	٠,١	٠,٠٠٠٥	٠,٨٠٠٦	٠,٨٩٤٧	خط العرض	٣		
٦,٣	١٦١,٦	٠,٧٦٣٣	٠,٨٧٣٣	٠,٨٧٣٣	الارتفاع	١	سبتمبر = ٢٨,٦٤٧ - ٢٨,٠٧٧٨ × خط العرض + ٠,١٣٠٣ × الارتفاع	
٣,٦	٤,٩	٠,٠٠٢٢	٠,٧٧٥٥	٠,٨٨٦	خط الطول	٢	خط الطول = ٠,٠٤٤ × الارتفاع	
٤,٠	١,٥	٠,٠٠٠٧	٠,٧٩٢٢	٠,٨٨٩	خط العرض	٣		
٤٧,٣	١٣٤,٥	٠,٧٢٩	٠,٨٥٣	٠,٨٥٣	الارتفاع	١	أكتوبر = ٣٨,٢٤٠ - ٣٨,٣٢٥٢ × خط العرض - ٠,٠٤٤١ × الارتفاع	
٢,٧	٤٤,٨	٠,١٢٩	٠,٨٥٨	٠,٩٢٦	خط العرض	٢	خط الطول = ٠,٠٥١ × الارتفاع	
٤,٠	٠,٧	٠,٠٠٠٢	٠,٨٦٠	٠,٩٢٧	خط الطول	٣		
٢١٦,٨	٣٨,٥	٠,٤٣٥	٠,٦٥٩	٠,٦٥٩	الارتفاع	١	نوفمبر = ٤٨,٣٠٦ - ٤٨,٧٤٠٦ × خط العرض - ٠,١٥٢٧ × الارتفاع	
٩,٨	١٨٢,٩	٠,٤٤٥	٠,٨٨٠	٠,٩٣٨	خط العرض	٢	خط الطول = ٠,٠٥٨ × الارتفاع	
٤,٠	٧,٨	٠,٠٠١٧	٠,٨٩٧	٠,٩٤٧	خط الطول	٣		
٢٨٨,١	٣٠,٧	٠,٣٨٠	٠,٦١٦	٠,٦١٦	خط العرض	١	ديسمبر = ٥٧,٢٣١ - ٥٧,٩٩٣٣ × خط العرض - ٠,٣١٢٧ × الارتفاع	
٣٢,٣	١٦٠,٦	٠,٤٧٥	٠,٨٥٥	٠,٩٢٤	الارتفاع	٢	خط الطول = ٠,٠٥٦ × الارتفاع	
٤,٠	٣٠,٣	٠,٠٠٥٦	٠,٩١١	٠,٩٥٤	خط الطول	٣		

ملاحظة: قيم خطوط العرض وخطوط الطول يمثلها القيم المزدوجة للدرجات والدقائق بقيمة خط العرض ٣١,٤١ مثلاً ككتب ٣١,٤١ ومكلاً.



حيث إن :

$\hat{M}$  = القيمة المقدرة للمتغير المعتمد، وهو في دراستنا هذه المتوسط الشهري لدرجة الحرارة .

١ = القيمة القاعدية التي تستند عليها خطوط العلاقة الاعتمادية للمتغير المعتمد على المتغيرات المستقلة. وتقع عند نقاط قطع هذه الخطوط للمحور الممثل للانتشار الرأسي لقيم المتغير المعتمد، أي عند النقاط التي تكون فيها قيم المتغيرات المستقلة صفراً. (٥)

$\hat{B}_1, \hat{B}_2, \hat{B}_3$  = معاملات العلاقة الاعتمادية للمتغير المعتمد على المتغيرات المستقلة .

$M_1, M_2, M_3$  = المتغيرات المستقلة، وهي في دراستنا هذه خط العرض، خط الطول، والارتفاع التضاريسي .

وقد تم اختيار طريقة التحسين الأقصى لمعامل التحديد المتعدد من بين عدة طرق يشملها برنامج العلاقة الاعتمادية المتدرجة لأنها لا تستقر على نموذج وحيد فهي تبحث عن أفضل النماذج على أساس عدد المتغيرات المستقلة من واحد إلى نهاية عدد المتغيرات المستقلة التي تشملها الدراسة. (٦) وقد طور هذه الطريقة جودنايت في المقالة التي نشرها في سنة ١٩٧٩ م. (٧) وتبدأ هذه الطريقة بالبحث عن المتغير المستقل الذي يفرز أعلى نسبة لمعامل التحديد المتعدد، ثم بعد ذلك المتغير الآخر الذي ينجم عن إدخاله في النموذج الحصول على أقصى زيادة ممكنة في قيمة معامل التحديد المتعدد، وبعد الحصول على نموذج المتغيرين

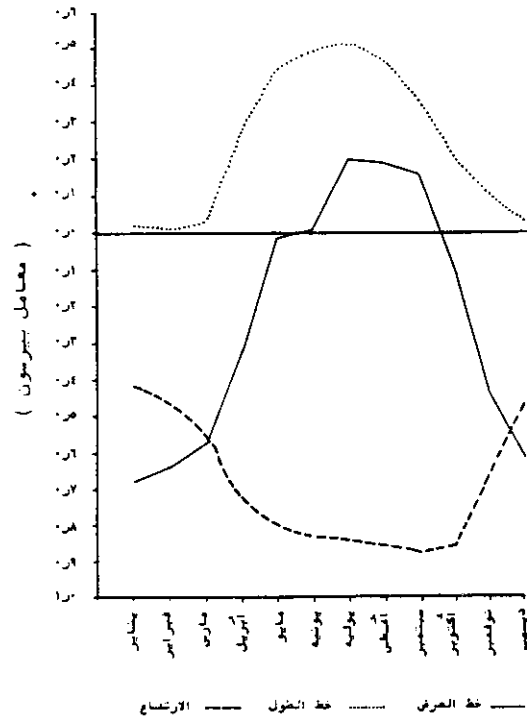
(٥) لمعرفة تفصيلات حساب هذه المعاملات يمكن للقارئ أن يرجع إلى أي من الكتب المرجعية للوسائل الكمية في الجغرافيا مثل كتاب : W. A. A. Clark and P. L. Hosking, *Statistical Methods for Geographers* (Chichester: John Wiley & Sons, 1986), pp. 334 - 48.

(٦) SAS Institute Inc., *SAS User's Guide: Statistics*, 5th ed. (Cary, NC, U.S.A.: SAS Institute Inc., 1986), p. 765.

(٧) J. Goodnight, "A Tutorial on the Sweep Application," *The American Statistician*, 33 (1979), 149-58.

المستقلين تبدأ عملية مقارنة كل من المتغيرين المستقلين في النموذج الثنائي بكل من المتغيرات المستقلة الأخرى التي لم تدمج بعد في النموذج لتحديد ما إذا كان حذف أحد المتغيرات في النموذج لإحلال متغير من المجموعة التي لم تدمج محله بعد سينجم عنه زيادة في قيمة معامل التحديد المتعدد. وبعد إتمام مقارنة كل الاحتمالات للتغيير تتم إضافة المتغير الذي سيسهم بالزيادة الأكبر في معامل التحديد المتعدد وهكذا حتى النهاية، وستعرض فيما يلي لمناقشة نتائج تطبيق هذه الطريقة:

نبدأ بالتعرض لمعاملات الارتباط البسيط بين متوسط درجة الحرارة الشهرية الوسطى وبين كل من العوامل الثلاثة، والتي تم تجسيمها بالرسم البياني رقم ١ ويتضح من هذا الرسم:



رسم بياني رقم ١ . الارتباط بين المتوسط الشهري لدرجة الحرارة الوسطى والعوامل الجغرافية.

١ - أن المتوسط الشهري لدرجة الحرارة الوسطى يرتبط بشكل سالب مع عامل الارتفاع التضاريسي على مدار السنة، وتزداد حدة هذا الارتباط خلال الفترة من أبريل إلى أكتوبر حيث يمثلها معاملات تتراوح بين -٠,٧٤٤ لشهر أبريل و -٠,٨٥٤ لشهر أغسطس ويتقلص هذا المستوى في بقية أشهر السنة بحيث لا تزيد على -٠,٦٩٥ .

٢ - أن الارتباط بين المتوسط الشهري لدرجة الحرارة الوسطى وبين عامل خط الطول يأخذ الشكل الموجب على مدار السنة إلا أن قيمته تظل دون الوسط، وتمثل القيم العليا له والمنحصرة بين ٠,٥١١ و ٠,٣٥٤ الفترة من مايو إلى سبتمبر، وتتلاشى هذه القيم بالنسبة للفترة الباردة من السنة بشكل حاد ينعدم معه وجود ارتباط ذي معنى وبالذات للشهور من ديسمبر إلى فبراير.

٣ - أن معامل الارتباط بين عامل خط العرض وبين المتوسط الشهري لدرجة الحرارة الوسطى يمثله خليط من القيم السالبة والموجبة . فالارتباط السالب يمثل الفترة من أكتوبر إلى مايو ويتأرجح من ضعيف جداً - ٠,٠٩٥ لشهر مايو إلى فوق المتوسط - ٠,٦٨٣ لشهر يناير، في حين يظهر الارتباط الموجب بمستويات ضعيفة في بقية الفترة من السنة وبقيم ضئيلة تتراوح بين ٠,٠٨٢ لشهر يونيو و ٠,٢٠٥ لشهر يولية مما يدل على ضآلة تأثير هذه العوامل على التوزيع الجغرافي لدرجة الحرارة في فصل الصيف .

على أية حال يظهر التأثير المركز لخط العرض في الفترة من ديسمبر إلى مارس بقيم تتراوح بين - ٠,٥٨٤ (مارس) و -٠,٦٨٣ (يناير) .

ومن خلال تحليل العلاقة الاعتمادية المتدرجة تم التوصل إلى سلسلة من المعادلات التي تجسم أحسن العلاقات بين المتوسط الشهري لدرجة الحرارة الوسطى التقديرية وبين العوامل الثلاثة الأنفة الذكر . ويشمل جدول رقم ٢ على ملخص لنتائج الخطوات الثلاث الأولى من التحليل . ومن هذه النتائج يتضح أن معامل الارتباط المتعدد تتراوح قيمته بين ٠,٩٧٤ (فبراير) وبين ٠,٨٨٩ (يونيو) وبالتالي فإن قيمة معامل التحديد، أي القيمة

المثلة لحجم تحكم هذه المعالم الثلاثة في التغيرات المكانية لمتوسط درجة الحرارة الشهرية الوسطى تتراوح بين ٠,٩٤٩ (%٩٥) وبين ٠,٧٩٠ (%٧٩). وعلى أية حال، فإن هذه القيم تمثل مقاييس الاختلاف بين القيم المقاسة لمتوسط درجة الحرارة الشهرية الوسطى في المحطة المعينة وبين القيم المقدرة لها على أساس معادلات نماذج الأشهر المختلفة.

كما يشتمل الجدول أيضًا على قيم تمثل إسهامات كل من العوامل الثلاثة في تحديد القيمة المقدرة لمتوسط درجة الحرارة الشهرية مرتبة حسب أهميتها:

وبتفحص هذا الجدول تبرز لنا حقائق مثيرة نلخصها فيما يلي:

١- إن عامل الارتفاع التضاريسي هو العامل الذي يفرز ويتحكم في الجزء الأكبر من الاختلافات المكانية لمتوسط درجة الحرارة الشهرية، ويحتل المرتبة الأولى في الترتيب التنازلي من حيث حجم معامل التحديد المتعدد في كل أشهر السنة باستثناء شهري يناير ونوفمبر حيث يتراجع إلى المرتبة الثانية بفروق ضئيلة بعد عامل خط العرض في هذين الشهرين، وتتراوح مساهمة عامل الارتفاع التضاريسي في التحكم في الاختلافات المكانية لمتوسط درجة الحرارة الشهرية في أرجاء المملكة بين ٣,٧٦ (% سبتمبر) وبين ٤,٤٢ (% يناير).

٢- إن عامل خط العرض ينحسر دوره في إفراس الاختلافات المكانية إلى مستوى ضئيل للغاية في الأشهر الحارة من السنة وهي يونية ويولية وأغسطس وسبتمبر حيث تتراوح مساهمته بين ٨,١ (% يونية) وبين ١,٠ (% يولية). ويحتل بذلك المرتبة الثالثة بعد عامل الارتفاع التضاريسي وخط الطول. هذا الوضع ينعكس في بقية أشهر السنة حيث تتصاعد مساهمة خط العرض متأرجحة بين حد أقصى قدره ٧,٤٦ (% يناير) وحد أدنى قدره ١,٢ (% مايو).

٣- إن عامل خط الطول يلعب دورًا ثانويًا في إفراس الاختلافات المكانية لمتوسط درجة الحرارة الشهرية الوسطى في أرجاء المملكة، ولم يتخط مستوى مساهمته في ذلك حد الـ ١,٠ % ويبرز بشكل واضح في الفترة من يونية إلى سبتمبر حيث يحل محل خط العرض في المرتبة الثانية بنسب تراوحت بين ٩,٩ (% يولية) و ٢,٢ (% سبتمبر).

ويتضح من هذه النسب أن هذه العوامل الثلاثة لا تتحكم في كل الاختلافات المكانية للمتوسط الشهري لدرجة الحرارة، وأن المستوى الأدنى لهذا التحكم يبرز في الأشهر الحارة من السنة (مايو - سبتمبر) حيث تراوحت مساهمة هذه العوامل مجتمعة بين ١, ٨٢٪ في شهر مايو و ٢, ٧٩٪ في شهر سبتمبر، في حين أن هذا المستوى يتحسن في الأشهر الباردة من السنة متأرجحاً بين ٩, ٩٤٪ كحد أقصى في فبراير وبين ٨٦, ٨٪ كحد أدنى في أكتوبر. وهذا معناه أن العوامل الفاعلة الأخرى التي لم يتم تمثيلها في هذه الدراسة تنشط في تأثيرها على الاختلافات المكانية في درجة الحرارة خلال النصف الحار من السنة، ويتقلص حجم تأثيرها نسبياً النصف البارد من السنة. ومن الملاحظ أن هذا النشاط يبرز مع انحسار مستوى تأثير خط العرض في هذه الفترة من السنة، مما يعني أن التقارب في معدلات تسخين السطح على البعد العرضي للمملكة خلال الفترة الحارة من السنة تحت تأثير تركيز المنخفض الحراري الصيفي على الجزيرة العربية بحكم الزيادة في رأسية زاوية الإسقاط الشمسي وبالتالي التزايد في حجم الوحدة الحرارية الساقطة على الوحدة المساحية. هذا الوضع ينجم عنه إضعاف لتأثير الاختلافات في درجة العرض الذي يدفع إلى التقلص النسبي في الحجم الإجمالي لتأثير هذه العوامل الثلاثة وبالتالي استحواذ العوامل الأخرى التي لم يتم فرزها لهذه الدراسة على التحكم بالاختلافات المكانية بنسب تتراوح بين ٨, ٢٠٪ وبين ٩, ١٧٪. وتمثل هذه القيم قراءات غير مباشرة لدرجة الخطأ في قيم المتوسطات الشهرية لدرجة الحرارة الوسطى التي يمكن تقديرها لأي موقع في النطاق الجغرافي لهذه الدراسة بتطبيق المعادلات التي توصلت إليها هذه الدراسة.

وقد تمت مقارنة القيم التي تم تقديرها للمتوسط الشهري لدرجة الحرارة الوسطى بتطبيق هذه المعادلات على المحطات المناخية التي بنيت عليها هذه الدراسة بالقيم المقاسة في هذه المحطات والتي استخدمت كمادة خام في هذا التحليل. وبعد تحديد الفروق بين القيم المقدره والقيم المقاسة لكل محطة تم تحويلها إلى نسب مئوية تمثل الأحجام التصحيحية التي تضاف إلى أو تحذف من القيمة التي يتم تقديرها لأي موقع جغرافي في المملكة العربية السعودية. وهذه النسب المئوية والتي تظهر بفواصل حسابية سالبة وموجبة من نطاق جغرافي لآخر داخل المملكة تم تجسيمها في خرائط توضح النطاقات المكانية للمستويات المختلفة للنسب التعديلية (خرائط أرقام ٢ - ١٣). وقد تم تصميم هذه الخرائط لكل شهر على حدة

بحيث إن النطاقات السالبة تدلل على وجوب طرح ما يعادل النسب المئوية المحددة من القيمة المقدرة وذلك من قيمة متوسط درجة الحرارة الشهرية الوسطى التي جرى تقديرها للموقع الذي يقع في أي منها. والعكس بالنسبة للنطاقات الموجبة حيث يتعين إضافة ما يوازي نسبتها المئوية من القيمة المقدرة إلى القيمة المقدرة ذاتها لتصحيحها.

ولتوضيح كيفية الإضافة والحذف هذه دعنا نفترض أننا بحاجة إلى معرفة متوسط درجة الحرارة الوسطى لشهر يولية لمكان يقع على خط العرض ٢٥°٣٠' وخط الطول ١٠°٤٢' وعلى ارتفاع ٦٤٠ م، وبالرجوع إلى سجل المحطات المتوافرة نجد أن هذا الموقع ليس به محطة مناخية. في هذه الحالة يمكننا تطبيق معادلة شهر يولية التي توصلت هذه الدراسة لتقدير متوسط درجة الحرارة الوسطى في شهر يولية في هذا الوضع، وبالرجوع إلى جدول رقم ٢ نجد أن معادلة شهر يولية تقول بأن تقدير هذا المتوسط يكون على النحو التالي:

$$\begin{aligned} & ٢٠,٧٠٨ - ٠,٠٠٨٢ \times \text{خط العرض} + ٠,٣٢٤٩ \times \text{خط الطول} - ٠,٠٠٤٣ \times \text{الارتفاع} \\ & = ٢٠,٧٠٨ - ٠,٠٠٨٢ \times ٢٥,٣٠ + ٠,٣٢٤٩ \times ١٠ - ٠,٠٠٤٣ \times ٦٤٠ \\ & = ٢٠,٧٠٨ - ١٣,٦٧٨ + ٣,٢٤٩ - ٢,٧٥٢ \\ & = ٣١,٤٢٨ = \end{aligned}$$

وبالرجوع إلى خريطة شهر يولية (خريطة رقم ٨) نجد أن موقعنا هذا يقع في نطاق النسبة المئوية + ٥، أي يتعين علينا تصحيح هذه النتيجة بإضافة ما يعادل ٥٪ من القيمة المقدرة أعلاه إلى القيمة نفسها. والقيمة المعادلة لـ ٥٪ من القيمة المقدرة تكون (٣١,٤٢٧ × ٥) = ١,٥٧١.

وهكذا فإن القسمة التقديرية المعدلة لمتوسط درجة الحرارة في شهر يولية في موقعنا هذا = ٣١,٤٢٧ + ١,٥٧١ = ٣٢,٩٩٨ أي ٣٣° م.

ونأمل أن تقدم هذه النماذج الشهرية بديلاً مقبولاً بالضرورة لتقدير المتوسطات الشهرية لدرجة الحرارة الوسطى على أي نقطة في المساحات البيئية الشاسعة التي تفصل المحطات القائمة لرصد درجات الحرارة التي يتسم توزيعها الجغرافي كما ذكرنا في بداية هذا المقال بالقلة العددية بالنسبة للوحدة المساحية للمملكة وبانعدام انتظامية التوزيع لها على أرجاء البلاد. ولعله من المناسب أن نشير هنا إلى أن عالم المناخ المعروف ميخائيل بوديكو يرى بأن المجال المسموح به للأغراض العملية المناخية بالنسبة «لدقة قيم المتوسطات الشهرية لدرجة الحرارة يمثل مقدار  $\pm 1^\circ\text{C}$  عن القيمة الحقيقية .»

ومن المعروف أن هذه القيمة الحقيقية قد لا تمثلها بدقة كاملة القيم المقاسة في محطة الرصد والتي تتعرض لعمليات حسابية محددة لتحويلها إلى قيمة متوسط شهري . ولذا فإن من الجائز أن نشير هنا إلى أن تبني نماذج التقديرات التي توصلت إليها هذه الدراسة للمواقع التي لا توجد فيها محطات قياس مباشر يمكن ممارسته دون تحفظ وبالذات بالنسبة للنطاقات التي يمثلها قيم تعديلية في حدود  $\pm 0.5\%$  .

#### مصادر قيم المتوسط الشهري لدرجة الحرارة

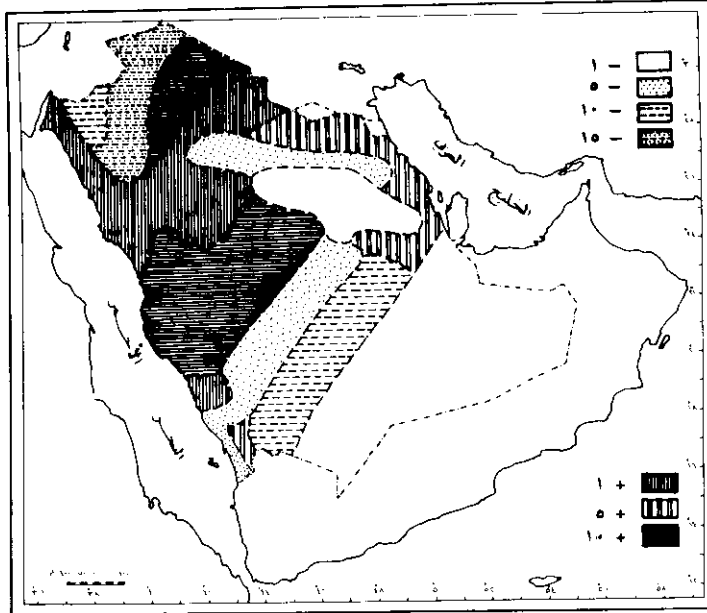
أولاً: محطة رأس تنورة (١٢) تديرها شركة أرامكو وتم الحصول على قيم درجات الحرارة الشهرية من قسم الطقس في المقر الرئيس للشركة بالظهران عن طريق المراسلة وذلك في شكل جداول ملخصات مفردة .

ثانياً: المحطات التي يسبق تسميتها كلمة مطار في جدول رقم ١ تديرها مصلحة الأرصاد وحماية البيئة وتم استخلاص معلوماتها للفترة ١٩٧٠ - ١٩٨٥ م من المطبوعات التالية التي نشرتها المصلحة :

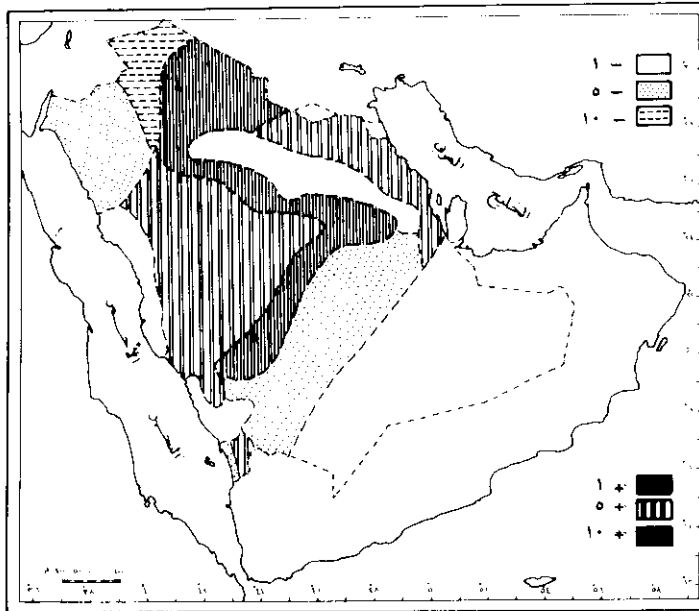
١ - التقرير السنوي (١٩٧٠ - ١٩٧٦ م)

٢ - التقرير السنوي البيئي (١٩٧٧ - ١٩٨٥ م)

أما بالنسبة لسنتي ١٩٨٦ - ١٩٨٧ م فقد تم استخلاص معلوماتها مباشرة من ملفات المحطات المودعة لدى قسم المناخ بالمقر الرئيس للمصلحة بمدينة جدة .

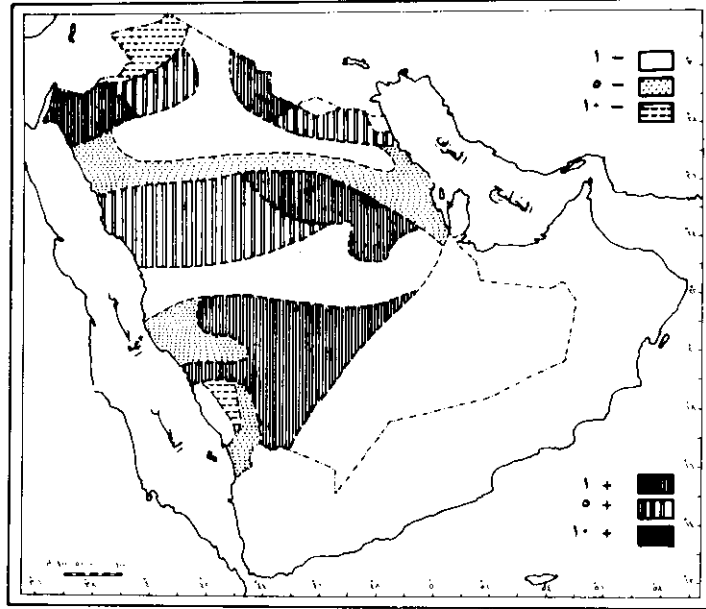


خريطة رقم ٢ . نطاقات النسبة المئوية لتعديل متوسط درجة الحرارة الشهرية حسب أنموذج يناير .

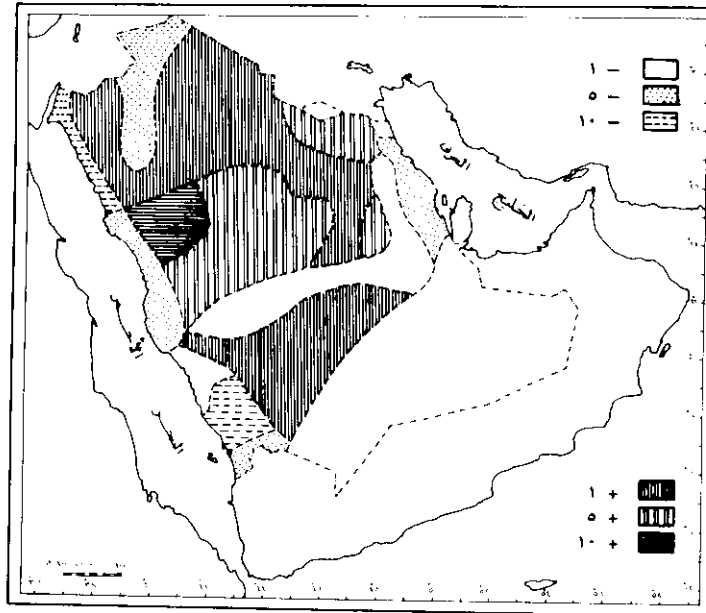


خريطة رقم ٣ . نطاقات النسبة المئوية لتعديل متوسط درجة الحرارة الشهرية حسب أنموذج فبراير .

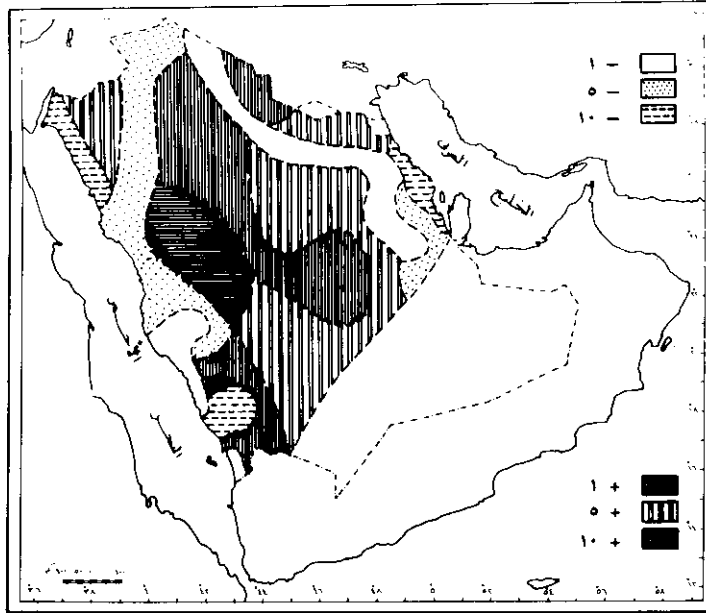




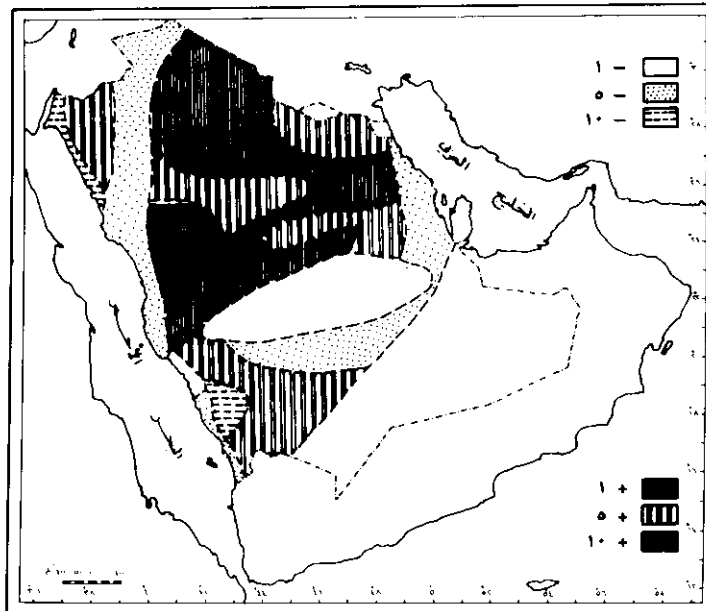
خريطة رقم ٤ . نطاقات النسبة المئوية لتعديل متوسط درجة الحرارة الشهرية حسب أنموذج مارس .



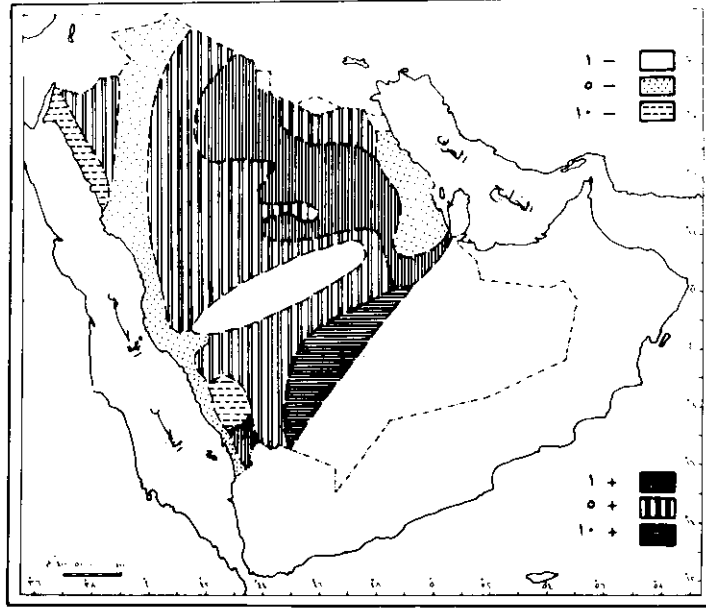
خريطة رقم ٥ . نطاقات النسبة المئوية لتعديل متوسط درجة الحرارة الشهرية حسب أنموذج أبريل .



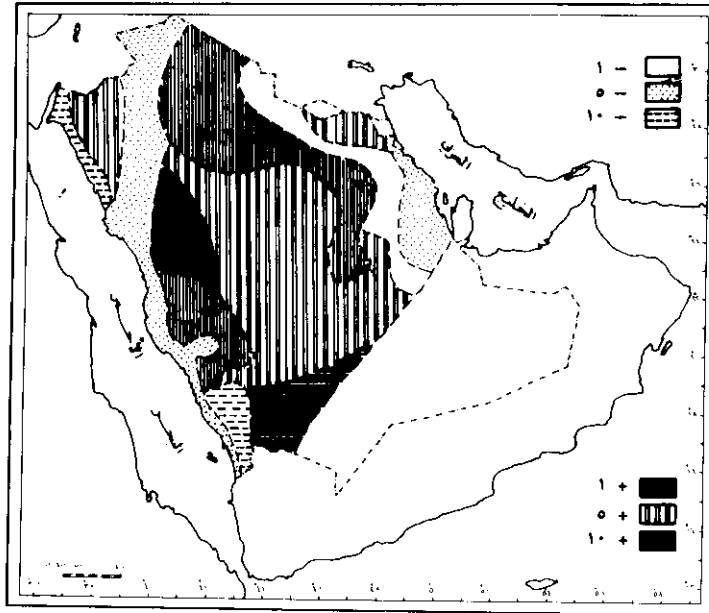
خريطة رقم ٦ . نطاقات النسبة المئوية لتعديل متوسط درجة الحرارة الشهرية حسب أنموذج مايو.



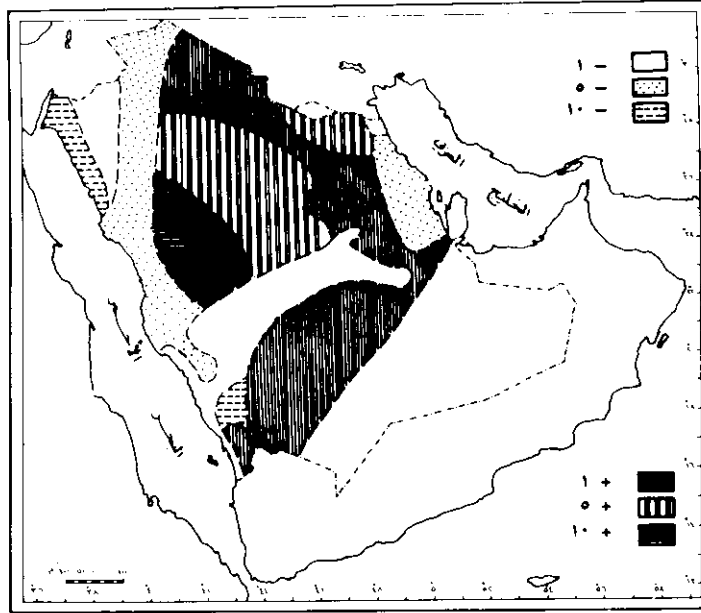
خريطة رقم ٧ . نطاقات النسبة المئوية لتعديل متوسط درجة الحرارة الشهرية حسب أنموذج يونيو.



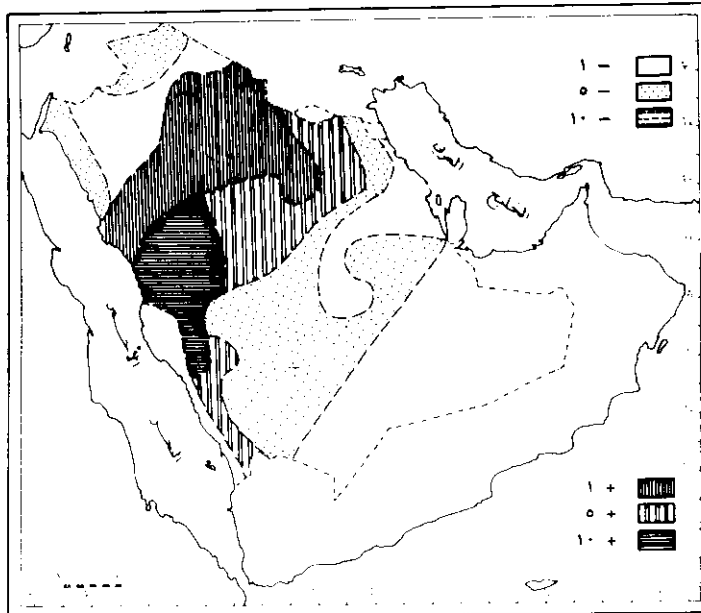
خريطة رقم ٨ . نطاقات النسبة المئوية لتعديل متوسط درجة الحرارة الشهرية حسب أنموذج يولية .



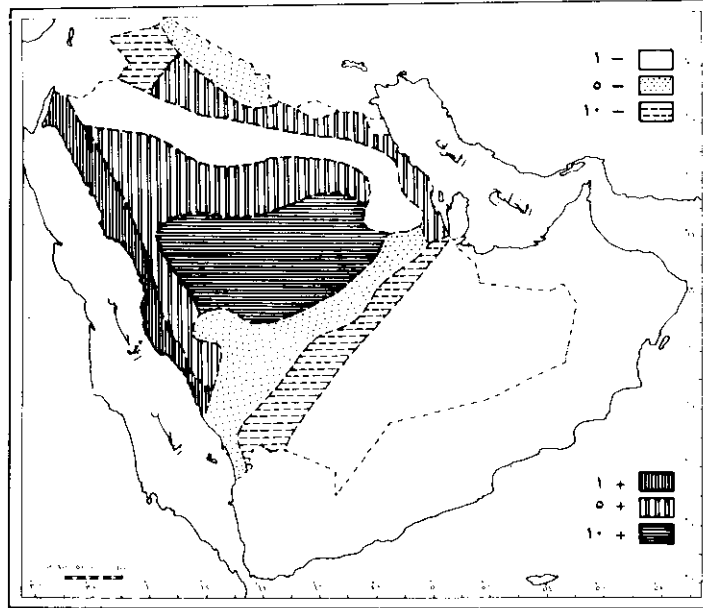
خريطة رقم ٩ . نطاقات النسبة المئوية لتعديل متوسط درجة الحرارة الشهرية حسب أنموذج أغسطس .



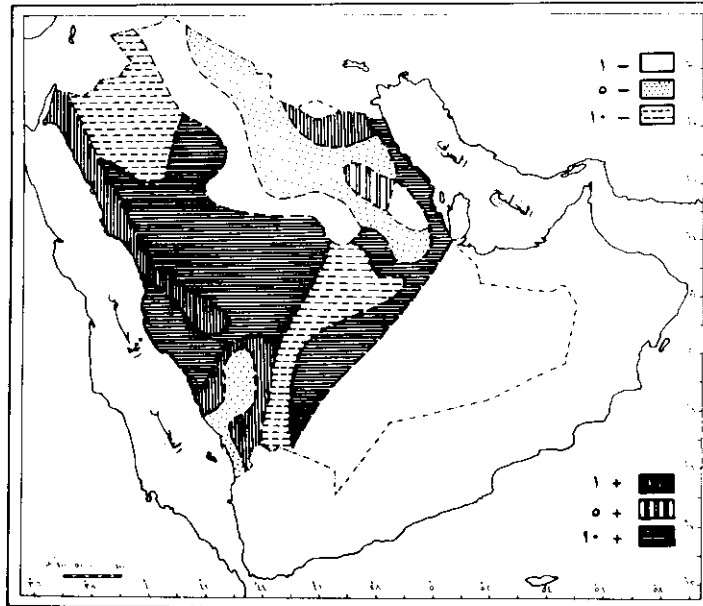
خريطة رقم ١٠ . نطاقات النسبة المتوية لتعديل متوسط درجة الحرارة الشهرية حسب أنموذج سبتمبر.



خريطة رقم ١١ . نطاقات النسبة المتوية لتعديل متوسط درجة الحرارة الشهرية حسب أنموذج أكتوبر.



خريطة رقم ١٢ . نطاقات النسبة المئوية لتعديل متوسط درجة الحرارة الشهرية حسب أنموذج نوفمبر.



خريطة رقم ١٣ . نطاقات النسبة المئوية لتعديل متوسط درجة الحرارة الشهرية حسب أنموذج ديسمبر.

ثالثاً: بقية المحطات تديرها وزارة الزراعة والمياه واستخلصت قيمها من النشرة الهيدرولوجية التي يصدرها قسم الهيدرولوجيا بالوزارة وذلك بالنسبة للفترة ١٩٧٠ - ١٩٨٤م وأرقام هذه النشرة لكل سنة من سنوات هذه الفترة هي كالتالي:

٤٥ (١٩٧٠م)، ٥٣ (١٩٧١م)، ٦١ (١٩٧٢م)، ٧٤ (١٩٧٣م)، ٨٢ (١٩٧٤م)، ٨٩ (١٩٧٥م)، ٩٠ (١٩٧٦م)، ٩١ (١٩٧٧م)، ٩٢ (١٩٧٨م)، ٩٤ (١٩٧٩م)، ٩٦ (١٩٨٠م)، ٩٩ (١٩٨١م)، ١٠٢ (١٩٨٢م)، ١٠٧ (١٩٨٣م)، ١١٠ (١٩٨٤م).

أما بالنسبة للسنوات ١٩٨٥ - ١٩٨٧م فقد تم الحصول على قيمها مباشرة من ملفات المحطات التي يحتفظ بها قسم الهيدرولوجيا في المقر الرئيس لوزارة الزراعة والمياه بمدينة الرياض.

**Models for Estimating Mean  
Monthly Average Temperature in Saudi Arabia:  
An Application of Stepwise Multiple Regression**

**Mohammad Abdullah Al-Jerash**

Associate Professor, Geography Department, College of Arts and Humanities, King Abdul  
Aziz University, Jeddah, Saudi Arabia

**Abstract.** This study relates, through the application of stepwise analysis, the mean monthly average temperature in fifty-two climatic stations in Saudi Arabia to three geographical factors namely: latitude, longitude and altitude. The aim is to test the hypothesis that there is a linear relationship between the M.M.A.T. and the said factors. The results of the application show that the influence of the altitude factor stands out in the warm part of the year (April-August), while that of longitude is felt in the summer season only (May-August). In contrast we find that the influence of latitude on the special variations of M.M.A.T. stands out in the colder part of the year (November-March). The models obtained do not, however, represent all the factors that contribute to the special variations of M.M.A.T. for the coefficient of determination varies between 0.949 for November and 0.791 for June. The residual values have been converted into percentage values and mapped as a reference for the error value of the models to be adapted when applied to any point within the Kingdom.